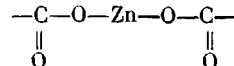


**Основные продукты термораспада полиметакрилатов в вакууме
(300°, 2 часа, 10⁻⁴ torr)**

ZnCl ₂ , вес. %	Глубина распада, %	Мономер, вес. %	Ненидентифицированные вещества, вес. %	CH ₃ OH, вес. %	Непредельные углеводороды	Олигомерная фракция, вес. %
П М М А						
0	61,5	96	3,2	—	—	0,2
0,5	47,9	84	12,4	0,7	0,3 *	2,4
2,0	34,2	69	19,8	2,5	2,1 *	5,3
П Б М А						
0	56,6	89,5	0,1	5	1,7 **	3,2
0,5	55,3	73,0	1,5	12,7	1,5 **	7,2
2,0	34,1	66,0	5,7	18,0	1,7 **	3,0

* C₃₋₄. ** Бутен-1.

В ряде работ отмечено, что образование циклов в цепи препятствует деполимеризации и тем самым понижает скорость распада ПММА [3-5]. Возможно, однако, что этот механизм не является единственным, обусловливающим уменьшение скорости деполимеризации. Об этом свидетельствует тот факт, что ДАЦ и акрилатоцетат цинка (ААЦ) проявляют более сильный стабилизирующий эффект по сравнению с ZnCl₂ (рис. 2); однако эти соединения имеют аналогичные циклу связи



что, по-видимому, исключает протекание обменной реакции. В связи с этим нами ведутся дальнейшие исследования, направленные на выяснение механизма стабилизирующего действия солей цинка при термораспаде полиметакрилатов.

Горьковский институт химии
АН СССР

Поступила в редакцию
21 V 1973

ЛИТЕРАТУРА

- Ю. Д. Семчиков, Н. А. Сенина, Л. С. Тэльтовт, Л. М. Терман, Р. П. Черновская, Г. Н. Мухина, Р. Я. Хвилевицкий, Г. А. Разуваев, В. П. Зубов, Авт. свид. 410050, 1972; Бюлл. изобретений, 1974, № 1, 87.
- Л. С. Кочнева, Ю. Д. Семчиков, Л. М. Терман, Г. А. Разуваев, Высокомолек. соед., B15, 405, 1973.
- А. Е. Куликова, Л. А. Герштейн, Е. Н. Зильберман, Т. С. Ястребова, Высокомолек. соед., B14, 604, 1972.
- А. В. Рябов, Б. М. Калинушкин, Труды по химии и химич. технологии, Горький, 1966, вып. 1, стр. 45; вып. 2, стр. 205.
- N. Grassie, J. R. MacCallum, J. Polymer Sci., A2, 983, 1964.

УДК 541.64 : 542.952

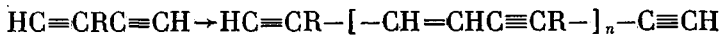
СИНТЕЗ ПОЛИМЕРОВ С ВИНИЛАЦЕТИЛЕНОВЫМИ ГРУППИРОВКАМИ В ГЛАВНОЙ ЦЕПИ

Л. А. Акопян, Э. В. Овакимян, С. Г. Мацоян

Несмотря на многочисленные исследования, посвященные полимерам с диацетиленовыми группировками в главной цепи, получаемых окислительной дегидрополиконденсацией α,ω -диацетиленовых соединений [1], полимеры с винилацетиленовыми группировками до сих пор не описаны в литературе.

Как известно, монозамещенные ацетилены под влиянием различных катализитических систем подвергаются димеризации (реакция Штрауса) с образованием винилацетиленовых соединений [2]. Ранее нами было показано, что α -ацетиленовые спирты под действием хелатов никеля в пиридине гладко димеризуются в винилацетиленовые гликоли *транс*-конфигурации [3].

Представляло интерес применение этой реакции к терминальным диацетиленовым соединениям для получения винилацетиленовых полимеров по схеме

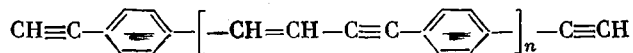


В качестве терминальных диацетиленов был использован ряд *bis*-производных α -ацетиленовых спиртов, а также *n*-диэтилбензол.

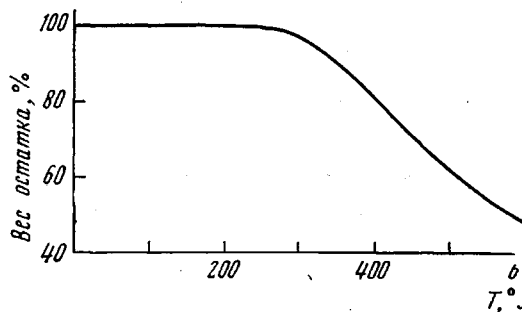
Полимеризацию проводили в условиях гомогенного катализа нагреванием их пиридиновых растворов в присутствии пиридината этилацетоата никеля.

Продукты полимеризации *bis*-производных α -ацетиленовых спиртов, (таблица) получаются в виде каучукоподобной массы (выход 70–90%) и фактически являются кислородсодержащими гетероцепочечными олигомерами ($[\eta]=0,06-0,08 \text{ dl/g}$). Они растворимы в органических растворителях (бензол, диоксан, ТГФ). Как следовало ожидать, в ИК-спектрах этих продуктов имеются характерные полосы поглощения винилацетиленовой системы, т. е. частоты сопряженной двойной ($1620, 970 \text{ cm}^{-1}$) и дизамещенной тройной (2220 cm^{-1}) связей.

Особый интерес представляет каталитическая полимеризация *n*-диэтилбензола, при которой с количественным выходом образуется нерастворимый в органических растворителях и неплавкий полимер светло-коричневого цвета



Для подтверждения этой структуры нами специально в условиях полимеризации *n*-диэтилбензола осуществлена димеризация модельного со-



Динамический термогравиметрический анализ полимера *n*-диэтилбензола

единения – фенилацетиlena, приводившая с хорошим выходом к 1,4-ди-фенилбутенину ($\text{C}_6\text{H}_5\text{CH}=\text{CHC}\equiv\text{CC}_6\text{H}_5$).

По данным термогравиметрии (рисунок), полимер *n*-диэтилбензола в атмосфере воздуха стоек до 250° , заметное разложение начинается лишь с 300° .

Как и следовало ожидать, этот полимер парамагнитен; дает сигнал ЭПР с g -фактором, близким к значению для свободного электрона ($\sim 2,0$), шириной в 7 э и интенсивностью, соответствующей $4,2 \cdot 10^{17} \text{ спин/г}$. Его электропроводность того же порядка, что и полимера, полученного окислительной дегидрополиконденсацией *n*-диэтилбензола

Bis-производные α -ацетиленовых спиртов
 $\text{CH}\equiv\text{CH}-[\text{CH}=\text{CH}-\text{C}\equiv\text{C}-\text{R}]-_n\text{CH}\equiv\text{CH}$

R	Выход полимера, %	$[\eta]$, dl/g при 20°	С, %		H, %	
			найдено	вычислено	найдено	вычислено
$\begin{array}{c} \text{CH}_3 & \text{CH}_3 \\ & \\ -\text{COCH}_2\text{OCH}_3 & \\ & \\ \text{CH}_3 & \text{CH}_3 \end{array}$	93,3	0,08 *	71,48	73,29	8,46	8,93
$\begin{array}{c} \text{CH}_3 & \text{CH}_3 \\ & \\ -\text{COCH}_2\text{CHCH}_2\text{OC} & \\ & \\ \text{CH}_3 & \text{OH} & \text{CH}_3 \end{array}$	73,0	0,07 **	66,66	69,60	8,63	8,98
$\begin{array}{c} \text{CH}_3 & \text{CH}_3 \\ & \\ -\text{COCH}_2\text{OC} & - \\ & \\ \text{C}(\text{CH}_3)_3 & \text{C}(\text{CH}_3)_3 \\ & \\ \text{CH}_3 & \\ & \\ -\text{COCH}_2\text{CHCH}_2\text{OCH}_2- & \\ & \\ \text{CH}_3 & \text{OH} \end{array}$	90,0	0,07 *	77,14	77,22	10,68	10,67
	70,0	0,06 **	64,38	67,32	6,45	8,21

* В бензоле, ** в диоксане.

$-\left[-\text{C}\equiv\text{C}-\text{C}\equiv\text{C}-\text{C}_6\text{H}_4-\right]_n-$ [4] и составляет $4 \cdot 10^{14} \text{ om}^{-1}\text{cm}^{-1}$. По данным элементного анализа, полученный полимер жадно поглощает кислород воздуха до содержания одного атома кислорода на элементарное звено. Судя по ИК-спектрам (поглощение в области связи $\text{C}-\text{O} - 1120 \text{ cm}^{-1}$), кислород полимерной цепью связывается химически.

Следует отметить, что вместо этилацетоацетата никеля с таким же успехом могут быть применены и другие хелатные соединения — ацетил-ацетонат и салицилальдиминат никеля.

Экспериментальная часть

Дизинилбензол [5] и *bis*-производные ацетиленовых спиртов [6] синтезированы по известным прописям.

Термостабильность полимера *n*-дизинилбензола изучалась на дериватографе системы Паулик — Паулик — Эрдеи при скорости нагрева 2 град/мин.

Спектры ЭПР снимали на спектрометре ИХФ-2; эталон — ДФПГ.

Полимеризация терминальных диацетиленовых соединений. Раствор 3,0 г *bis*-производных α -ацетиленовых спиртов и 0,1 г пиридината этилацетоацетата никеля в 30 мл пиридина кипятили в течение 30 час. Полимеры выделяли осаждением из реакционной смеси водой, очищали повторным осаждением из диоксанового раствора подкисленной (HCl) водой и сушили в вакууме (12 тор) при 54° (таблица).

Раствор 1,0 г *n*-дизинилбензола и 0,1 г пиридината этилацетоацетата никеля в 10 мл пиридина кипятили в атмосфере азота в течение 3,5 час. Образовавшийся осадок фильтровали, тщательно промывали последовательно ацетоном, водой, ацетоном и эфиром. Образовавшийся светло-коричневый порошок сушили в вакууме (12 тор) при 54° . Выход полимера — количественный. Данные элементного анализа вследствие поглощения полимером кислорода воздуха быстро меняются до значений (%) С 87,70; Н 4,36 и в дальнейшем остаются постоянными. $(\text{C}_{10}\text{H}_8)_n$. Вычислено %: С 95,20; Н 4,80. $(\text{C}_{10}\text{H}_8\text{O})_n$. Вычислено %: С 84,49; Н 4,25.

Димеризация фенилацетиlena. Раствор 3,0 г фенилацетиlena и 0,15 г пиридината этилацетоацетата никеля в 30 мл пиридина кипятили в течение 4 час. Под уменьшенным давлением отгоняли пиридин, остаток растворяли в петролейном эфире и пропускали через колонку, наполненную окисью алюминия, после чего отгоняли петролейный эфир и образовавшиеся кристаллы перекристаллизовывали из метанола. Получено 1,95 г (выход 65,0%) 1,4-дифенилбутенина с т. пл. 94,5–95,5°; по лит. данным [7] т. пл. 95–96°.

ЛИТЕРАТУРА

1. Ю. П. Кудрявцев, Прогресс полимерной химии, «Наука», 1969, стр. 87.
 2. F. Straus, Liebigs Ann. Chem., 342, 190, 1905; Ю. Ньюланд, Р. Фогт, Химия ацетиленов, Изд-во иностр. лит., 1947; M. Akhtar, B. C. L. Weedon, Proc. Chem. Soc., 1958, 303; L. Skatteböl, Acta chem. scand., 13, 198, 1959.
 3. Л. А. Акопян, С. Г. Григорян, Г. А. Чухаджян, С. Г. Мацоян, Ж. органич. химии, 9, 2004, 1973.
 4. И. Л. Котляревский, Л. Б. Фишер, А. А. Дулое, А. А. Слинкин, А. М. Рубинштейн, Высокомолек. соед., 4, 177, 1962.
 5. В. В. Коршак, А. М. Сладков, Ю. П. Кудрявцев, Высокомолек. соед., 5, 793, 1963.
 6. Л. А. Акопян, С. Б. Геворкян, С. Г. Мацоян, Арм. хим. ж., 22, 858, 1969; Л. А. Акопян, С. Б. Геворкян, Е. Г. Хартян, С. Г. Мацоян, Высокомолек. соед., Б12, 611, 1970.
 7. H. K. Black, D. H. Horn, B. C. L. Weedon, J. Chem. Soc., 1954, 1704.
-

УДК 541.64:547.1'128

РАЗВЕТВЛЕННЫЙ ПОЛИМЕТИЛФЕНИЛСИЛОКСАН

*К. А. Андрианов, С. А. Павлова, И. И. Твердохлебова,
Н. В. Перцова, Б. Г. Завин, И. И. Мамаева*

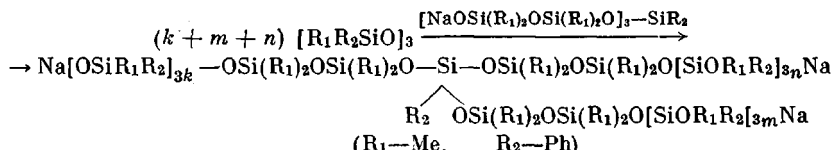
В работах [1–3] было показано, что на ранних стадиях анионной полимеризации октаметилциклотетрасилоксана на три- и тетрафункциональных инициаторах ветвленность макромолекул определяется только функциональностью инициатора. При больших степенях превращения исходная звездная структура нарушается. Об этом можно судить по увеличению полидисперсности полимера, по уменьшению фактора $g = [\eta]_p / [\eta]_n$. Рост разветвленности макромолекул связан с протеканием побочных процессов за счет передачи цепи.

Замена в исходном циклическом соединении 50% метильных групп на фенильные приводит к увеличению скорости реакции полимеризации и одновременно при высоких степенях конверсии по мономеру – к росту разветвленности макромолекул (при сопоставимых с полидиметилсилоксаном условиях реакции полимеризации). Это связано с большой ионностью связи Si – арил и участием ее в передаче цепи при анионной полимеризации.

В данной работе показано, что при полимеризации 1,3,5-триметил-1,3,5-трифенилциклотрисилоксана на трифункциональном натриевом инициаторе уже при конверсии 36% звездность структуры нарушается. Сравнительная оценка гидродинамических и молекулярно-весовых параметров линейного и разветвленного полидиметилсилоксана, проведенная нами, дала возможность оценить степень нарушения звездности структуры макромолекул при больших степенях превращения триметилтрифенилциклотрисилоксана.

Экспериментальная часть

Полиметилфенилсилоксан (ПМФС) получали при 120° по следующей схеме:



Инициатор брали в количестве 0,01 вес. % в пересчете на NaOH. ПМФС получали при конверсии 36 и 89%. Продолжительность реакции 50 и 120 час. соответственно. Фракционирование проводили в системе циклогексан : CCl₄ в объемном соотношении